

## ВОССТАНОВЛЕНИЕ ТРИХЛОРИДА МЫШЬЯКА ВОДОРОДОМ

© Н.А.Потолоков, А.В.Серов, В.Н.Потолоков, А.В.Журавлев,  
В.П.Колганов, Э.Г.Жуков, В.А.Федоров, В.И.Холстов

ОАО «Научно-исследовательский институт материалов электронной техники», Калуга  
Институт общей и неорганической химии им. Н.С.Курнакова РАН, Москва  
Московская сельскохозяйственная академия им. К.А.Тимирязева, КФ, Калуга  
Федеральное Агентство по промышленности, Москва

Поступило в Редакцию 3 марта 2006 г.

Выполнена оценка состава равновесной парогазовой смеси реакции восстановления трихлорида мышьяка водородом в интервале температур 700–1100 К при избытке водорода против стехиометрии  $\alpha=1.0\text{--}2.5$ . Установлены значения температур начала конденсации мышьяка («точки росы»). Определены кинетические параметры химической реакции. Уточнены оптимальные режимы процесса восстановления трихлорида мышьяка водородом, найдены условия конденсации мышьяка с минимальной долей аморфной модификации.

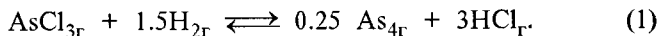
Взаимодействие газообразного трихлорида мышьяка с водородом относится к важнейшим стадиям получения элементного мышьяка высокой чистоты [1–4]. Систематическое исследование реакции восстановления  $\text{AsCl}_3$  водородом определяется актуальностью разработки физико-химических основ получения высокочистого мышьяка из нетрадиционного сырья – продуктов детоксикации (утилизации) химического оружия (люизита). Целесообразность организации промышленного производства высокочистых мышьякодержащих соединений на базе люизита обоснована в работах [5–7].

При исследовании термодинамических и кинетических закономерностей реакции восстановления  $\text{AsCl}_3$  водородом [8–10] установлено, что степень превращения трихлорида мышьяка достаточно высока уже при температурах выше 600 К и небольших избытках водорода против стехиометрии. Ранее проведено моделирование химических равновесий для реальных условий протекания реакции восстановления трихлорида мышьяка водородом [11].

Целью настоящей работы является экспериментальное изучение процесса восстановления  $\text{AsCl}_3$  водородом. Значительное внимание удалено рассмотрению кинетики процесса, а также оптимизации условий получения высокочистого мышьяка из нетрадиционного сырья – продуктов детоксикации люизита и отходов цветной металлургии.

### Экспериментальная часть

Предварительно была выполнена термодинамическая оценка реакции восстановления трихлорида мышьяка водородом:



Такая форма представления процесса превращения  $\text{AsCl}_3$  в мышьяк, допустима, так как ранее было показано [5, 7], что при избытке водорода против стехиометрии  $\alpha < 5$  и температуре ниже 1100 К основной формой существования мышьяка в паровой фазе является  $\text{As}_4$ . Расчет констант равновесия реакции (1)

$$K_p = \exp\left(-\frac{\Delta G_T^\circ}{RT}\right), \quad (2)$$

проведен в интервале 700–1100 К и избытке водорода против стехиометрии ( $\alpha=1\text{--}2.5$ ) двумя известными методами:

$$\Delta G_T^\circ = \Delta H_{298}^\circ - T\Delta S_{298}^\circ + \sum[n_i(H_T^\circ - H_{298}^T)_i] - T\sum[n_i(S_T^\circ - S_{298}^T)_i], \quad (3)$$

$$\Delta G_T^\circ = \Delta H_{298}^\circ - T\Delta\Phi_T^{**}, \quad (4)$$

где  $\Delta\Phi_T^{**}$  – приведенный термодинамический потенциал.

Отметим, что оба варианта дают весьма близкие значения  $K_p$ , которые находятся в пределах от  $3.4 \cdot 10^4$  до  $6.0 \cdot 10^4 \text{ atm}^{0.75}$  при изменении  $\Delta G_T^\circ$  от 60 до 100 кДж×

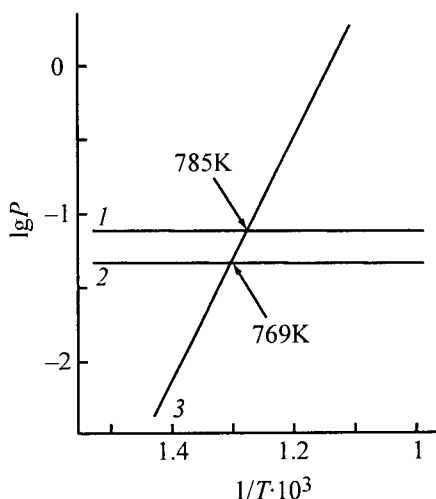


Рис. 1. Зависимость давления мышьяка  $P$  (атм) в равновесных условиях от температуры  $T$  (К).

$\alpha$ : 1 – 1.0, 2 – 2.5; 3 – давление насыщенного пара мышьяка.

хмоль<sup>-1</sup>. На основе полученных значений  $K_p$  выполнена оценка состава равновесной парогазовой смеси для общего давления в зоне протекания реакции 1 атм. Результаты представлены на рис. 1, из которого следует, что вычисленные значения парциального давления паров мышьяка  $P_p$  практически не зависят от температуры процесса и уменьшаются в 1.7 раза при возрастании  $\alpha$  с 1 до 2.5. Парциальное давление водорода уменьшается в 1.26 раза при росте температуры от 700 до 1100 К при  $\alpha=1$ , но при  $\alpha>1.5$  остается практически постоянным при изменении температуры. При этом равновесная концентрация  $\text{AsCl}_3$  при всех значениях  $\alpha$  остается незначительной и уменьшается по мере возрастания величины  $\alpha$ , подтверждая высокую степень превращения  $\text{AsCl}_3$  в мышьяк (табл. 1).

На рис. 1 также представлена зависимость давления насыщенных паров над твердым мышьяком [8]:

$$\lg P(\text{атм}) = -8140/T + 9.244. \quad (5)$$

Видно, что прямая пересекает горизонтальные линии  $P_{\text{As}}$  в точках, соответствующих температурам 785 и 769 К для  $\alpha$ , 1 и 2.5. Эти температуры и являются «точкой росы» для данных исходных соотношений реагирующих компонентов и соответствуют условиям начала конденсации мышьяка и нижней температурной границе корректности термодинамических расчетов реакции (1). При более низких температурах протекает реакция



и процесс из гомогенного переходит в гетерогенный. Таким образом, ниже точки росы можно ожидать протекание восстановления  $\text{AsCl}_3$  водородом одновременно по реакциям (1) и (6). При этом вклад по-

Таблица 1

Степень превращения трихлорида мышьяка  $\eta$  в мышьяк в зависимости от температуры и избытка водорода

$\alpha$	$\eta$ , %, при температуре, К				
	700	800	900	1000	1100
1	97.32	97.55	97.74	97.78	97.86
1.5	99.97	99.97	99.98	99.98	99.98
2.0	99.99	99.99	99.99	99.99	99.99
2.5	99.99	99.99	99.99	99.99	99.99

следней увеличивается по мере снижения температуры и может быть оценен отношением

$$D = (P_p - P)/P_p, \quad (7)$$

где  $P_p$  – равновесное давление паров мышьяка для реакции (1). Процесс можно рассматривать как проходящий гомогенно (1) в газовой фазе с последующей стадией конденсации паров мышьяка:



Исследование кинетики процесса восстановления  $\text{AsCl}_3$  водородом проводили на установке, схематично представленной на рис. 2. Основным элементом установки является кварцевый реактор, состоящий из двух секций. Высокотемпературная зона выполнена в виде системы из трех коаксиально расположенных цилиндров, обеспечивающих заданное время пребывания реакционной смеси ( $\text{AsCl}_3 + \text{H}_2$ ) при определенной температуре.

В низкотемпературной зоне (НТЗ) реактора секции расположены водоохлаждаемый конденсатор, обеспечивающий осаждение мышьяка в виде компактного крупнокристаллического слитка. Реактор помещен внутрь многозонного резистивного теплового узла, в котором создается требуемая температура протекания реакции и зоны конденсации мышьяка.

Изучены два варианта определения степени превращения трихлорида мышьяка в элементный мышьяк: 1) непосредственный контроль содержания  $\text{AsCl}_3$  в потоке газообразных продуктов реакции путем отбора и последующего анализа проб, 2) определение количества образовавшегося элементного мышьяка по убыли известного количества исходного  $\text{AsCl}_3$ .

Первый вариант позволяет сократить время проведения эксперимента и при использовании одной загрузки  $\text{AsCl}_3$  выполнить несколько параллельных определений. Второй вариант выполнения эксперимента более трудоемок, однако дает интегральную

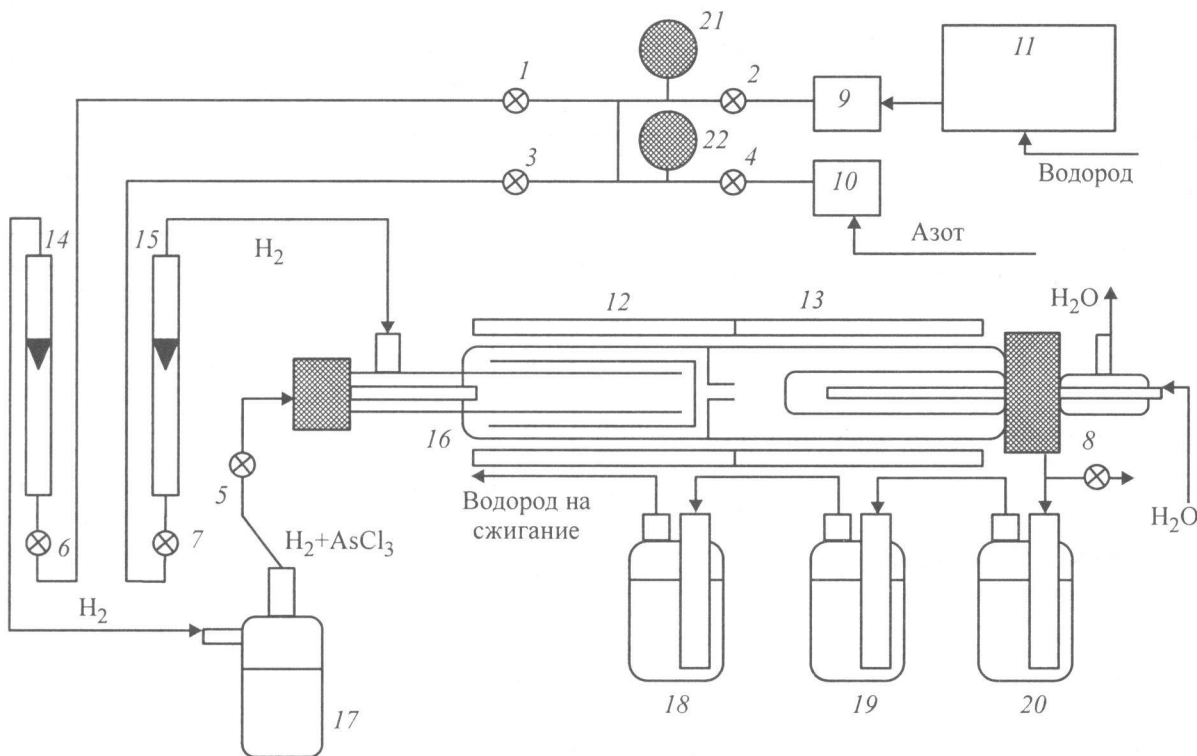


Рис. 2. Схема экспериментальной установки для изучения кинетики восстановления  $\text{AsCl}_3$  водородом.  
1–8 – регулировочные краны; 9, 10 – редукторы для регулирования давления; 11 – установка диффузионной очистки водорода; 12, 13 – нагреватели высокотемпературной и низкотемпературной зон; 14, 15 – расходомеры; 16 – реактор восстановления трихлорида мышьяка водородом; 17 – резервуар с  $\text{AsCl}_3$ ; 18–20 – емкости для поглощения хлорида водорода и остатков трихлорида мышьяка; 21, 22 – манометры.

характеристику кинетики процесса взаимодействия в системе  $\text{H}_2\text{-AsCl}_3$ , в которой влияние флюктуаций условий процесса будет нивелировано. В этом случае, однако, существенным усложнением является постоянное образование высокодисперсной аморфной модификации мышьяка, которая частично уносится потоком газов из конденсатора. Поэтому необходимо учитывать количество элементного мышьяка, осаждающегося в системе поглощения.

В исследованиях использовали комбинированную методику, согласно которой определяли общее количество непрореагировавшего  $\text{AsCl}_3$  за все время эксперимента при достаточно большом объеме исходного вещества – около 200 г. В результате реализуются достоинства второго варианта и снижается случайная погрешность, связанная с трудностями сбора всего образующегося элементного мышьяка. Для дополнительной проверки правильности полученных данных измеряли общее количество хлора в системе поглощения газообразных продуктов реакции.

В основу описания кинетики реакции восстановления трихлорида мышьяка водородом положен подход, изложенный в работах [8, 12, 13]. Скорость протекания реакции (1) определяется уравнением

$$r = \frac{dc}{dt} = kc^X c_{\text{H}}^Y \quad (9)$$

где  $r$  – скорость реакции ( $\text{моль}\cdot\text{л}^{-1}\cdot\text{с}^{-1}$ );  $k$  – константа скорости реакции;  $c$ ,  $c_{\text{H}}$  – концентрации трихлорида мышьяка и водорода в парогазовой смеси ( $\text{моль}\cdot\text{л}^{-1}$ );  $X$ ,  $Y$  – частные порядки реакции по трихлориду мышьяка и водороду.

Константа скорости реакции в серии экспериментов может быть рассчитана по величине остаточной концентрации  $\text{AsCl}_3$  при фиксированном времени пребывания реакционной смеси в зоне взаимодействия компонентов. Время пребывания (протекания химического взаимодействия) находили из выражения

$$t_p = V_a T_0 / (Q_1 + Q_2) T_p, \quad (10)$$

где  $t_p$  – время реакции (с);  $V_a$  – объем зоны реакции (л);  $T_0$  – абсолютная температура (К);  $Q_1$ ,  $Q_2$  – расход парообразного  $\text{AsCl}_3$  и газообразного водорода соответственно, приведенный к нормальным условиям ( $\text{л}\cdot\text{с}^{-1}$ );  $T_p$  – температура реакции (К), среднее ее значение в общем случае находили методом графического интегрирования зависимости температуры по длине зоны реакции.

Концентрации компонентов в исходной парогазовой смеси рассчитывали по формулам

$$c_0 = T_0/V_0(1 + 1.5\alpha)T_p, \quad (11)$$

$$c_{H(0)} = 1.5\alpha T_0/V_0(1 + 1.5\alpha)T_p, \quad (12)$$

где  $\alpha$  – отношение количества подаваемого водорода (моль) к стехиометрическому количеству;  $V_0$  – объем, который занимает моль идеального газа при нормальных (стандартных) условиях, равный 22.4 л.

Для определения частных порядков реакции и константы скорости реакции необходимо решить кинетическое уравнение (9). Введем безразмерную переменную  $f$ , определяемую как

$$f = c/c_0 \quad (13)$$

и по смыслу представляющую собой долю непрореагировавшего  $AsCl_3$ . Тогда, учитывая, что

$$c_H = 1.5\alpha c, \quad (14)$$

кинетическое уравнение химической реакции может быть записано в виде:

$$df/[f^X(f + \beta)^Y] = -1.5^Y k c_0^{(X+Y-1)} dt, \quad (15)$$

где  $\beta = \alpha - 1$ , или в интегральном виде с учетом, что при  $t_p=0 f=1$ ,

$$\int_1^f df/[f^X(f + \beta)^Y] = 1.5^Y k c_0^{(X+Y-1)} t_p. \quad (16)$$

Интегрирование левой части уравнения (16) представляет собой определенную проблему, так как вид интеграла зависит от величин  $X$ ,  $Y$ , причем только при равенстве  $X$  и  $Y$  целым (или) полуцелым числам интеграл может быть выражен в элементарных функциях. В связи с этим задача решалась таким образом, чтобы при варьировании независимых переменных получить массив экспериментальных данных о величине концентрации непрореагировавшего  $AsCl_3$ , на основе которых определить частные порядки реакции и температурную зависимость константы скорости реакции.

Интервалы варьирования независимых параметров составляли: температура зоны реакции  $T_p=886-1071$  К, время реакции  $t=5-28$  с, величина избытка водорода против стехиометрического соотношения  $\alpha = 1.02-4.03$ . Выбор интервала изменения указанных переменных величин проведен на основе анализа реальных режимов процесса и данных работ [8, 10].

Типичные результаты экспериментов и данные расчетов представлены в табл. 2. Для определения частных порядков реакции был использован метод нахождения минимума функции, представляющей собой зависимость от  $X$  и  $Y$  средней относительной ошибки определения константы скорости реакции (а также ее логарифма), вычисляемой по уравнению (16) для каждой серии экспериментов, удовлетворяющей требованию  $T_p=const$ . Применение подобной процедуры привело к следующим значениям для порядков реакции по трихлориду мышьяка и водороду:  $X=1.86$ ,

Таблица 2

Экспериментальные и расчетные параметры процесса восстановления трихлорида мышьяка водородом

$T_p$ , К	$\alpha$	$t$ , с	$\eta_{\text{эксп}} = 1-f_{\text{эксп}}$	$\eta_{\text{расч}} = 1-f_{\text{расч}}$	$\Delta = (\eta_{\text{эксп}} - \eta_{\text{расч}})/\eta_{\text{эксп}}$
			% %		
1072	1.03	16.1	88.4	90.6	-2.5
1072	1.29	17.5	96.9	97.8	-0.9
1072	1.88	19.7	99.8	99.7	0.1
1072	2.60	21.2	99.8	99.9	-0.1
1026	1.67	25.0	99.3	99.4	-0.1
932	1.97	25.4	99.0	98.9	0.1
886	1.91	25.2	97.9	97.7	0.2
980	1.98	20.0	99.5	99.3	0.2
980	1.79	14.6	99.0	98.7	0.3
980	1.96	9.9	98.8	98.5	0.3
980	2.36	10.4	99.0	99.1	-0.1
980	4.03	11.4	99.4	99.6	-0.2
980	2.01	8.0	97.2	98.3	-1.1
1072	1.58	11.6	99.1	99.0	0.1
1072	1.68	10.0	99.2	99.1	0.1

$Y=2.78$ . Порядок реакции (1) равен 4.6, что указывает на сложный механизм взаимодействия в системе  $AsCl_3-H_2$ .

С использованием полученных значений  $X$  и  $Y$ , решая уравнение (16), рассчитали константу скорости реакции для всего массива экспериментальных данных и определили ее зависимость от температуры:

$$\ln k = B - A/T, \quad (17)$$

где  $A=15287$ ,  $B=36.509$ .

Значение кажущейся энергии активации  $E$  составляет около 127 кДж·моль $^{-1}$ . Фактор частоты  $K_0$ , определяемый в теории столкновений из соотношения  $\ln K_0=B$ , равен  $7.17 \cdot 10^{15}$  (моль·л $^{-1}$ ) $^{-4.6} \text{с}^{-1}$ . Отметим, что значение константы скорости реакции при температуре 800 К превышает  $3.6 \cdot 10^7$  и возрастает примерно до  $1.7 \cdot 10^9$  (моль·л $^{-1}$ ) $^{-4.6} \text{с}^{-1}$  при 1000 К. Степень превращения трихлорида мышьяка в этих условиях выше 99% при времени пребывания смеси в зоне реакции более 15 с и избытке водорода  $\alpha > 1.5$ .

На основе полученных данных был сделан расчет степени превращения трихлорида мышьяка  $\eta(\%)$ . Результаты этого расчета дают удовлетворительное приближение к эксперименту (табл. 2). Относительная разность расчетных и экспериментальных данных не превышает 40% при оценке доли непрореагировавшего  $AsCl_3$  и 4% при определении степени его превращения. Значения констант скорости реакции восстановления мышьяка  $AsCl_3$  водородом были использованы для оптимизации режимов получения

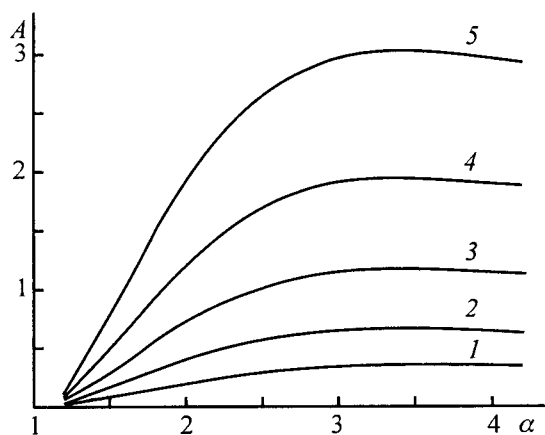


Рис. 3. Зависимость производительности установки восстановления  $\text{AsCl}_3$  водородом  $A$  (г·мин<sup>-1</sup>) от избытка водорода  $\alpha$  при различной температуре и степени превращения 99.9%.

Температура (К): 1 – 900, 2 – 950, 3 – 1000, 4 – 1050, 5 – 1100.

мышьяка высокой чистоты на опытно-промышленной установке.

Результаты расчетов в графическом виде представлены на рис. 3. Видно, что максимальная производительность достигается при  $\alpha=3.4$  и составляет около 3 г·мин<sup>-1</sup> по мышьяку при заданной степени превращения 99.9% и температуре 1100 К. При выборе температуры процесса следует учитывать возможность загрязнения выделяемого мышьяка аппаратурными примесями. В частности, при температурах выше 1100 К в нем наблюдается повышенное содержание кремния. Снижение температуры ниже 900 К приводит к значительному уменьшению скорости реакции. Увеличение избытка водорода  $\alpha > 3.4$  снижает производительность. На практике процесс восстановления трихлорида мышьяка водородом проводится при избытке водорода в пределах 1.5–2, так как при  $\alpha > 2$  существенно возрастает доля мышьяка, получаемого в аморфной модификации, что объясняется более высокими скоростями газовой смеси на выходе реактора и как следствие бóльшим просоком паров мышьяка в холодную часть реактора, где мышьяк конденсируется в аморфном виде.

Для определения оптимальной температуры зоны конденсации основным критерием было достижение минимального количества аморфной модификации. Была выполнена серия экспериментов, в которых находили долю образующейся аморфной модификации при варьировании тепловых условий и контроле температуры в зоне максимальной толщины слоя продукта. Результаты представлены на рис. 4, из которого видно, что при температуре выше 700 К наблюдается существенный рост доли аморфного мышьяка (от 7.2 до 22% при  $T > 730$  К). В интервале 700–670 К это изменение незначительно. Таким образом, опти-

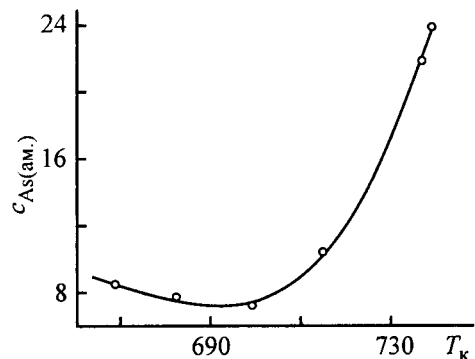


Рис. 4. Зависимость содержания аморфного мышьяка  $c_{\text{As(ам.)}}$  (%) от температуры зоны конденсации  $T_k$  (К).

### Таблица 3

Содержание примесей ( $\Pi$ ) в образцах высокочистого мышьяка

Примесь	$\Pi \cdot 10^6$ , мас%		
	кристаллический мышьяк	аморфный мышьяк	предел обнаружения
Al	<1.0	<1.0	1.0
Zn	0.1	0.1	0.03
Te	2.0	2.0	0.6
Si	0.5–0.1	2–0.5	0.06
S	4.0	2.0	1.0
Fe	0.7	2.0	0.1
Mn	<0.5	<0.5	0.01
Mg	<0.1	<0.1	0.01
Cu	<0.1	<0.1	0.07
Na	<0.1	<0.1	0.1
Cr	<0.5	<0.5	0.1
Pb	<5.0	<5.0	1.0

мальным температурным интервалом является 670–705 К. Остаточное давление мышьяка в этих условиях ниже  $5 \cdot 10^{-3}$  атм.

Для уменьшения уноса мышьяка в виде аэрозолей из реактора следует предусматривать систему улавливания. В нашем случае это достигается применением специальной вставки, в которой направление движения газового потока изменяется, а остатки аморфного мышьяка задерживаются системой барботажных абсорбера. Количество мышьяка, уносимого из зоны конденсации, не превышает 1.5%.

Найденные режимы процесса восстановления соединений мышьяка водородом были положены в основу создания опытно-промышленной установки получения высокочистого мышьяка на базе нетрадиционного сырья – продуктов детоксикации химического

(люизита) и отходов промышленности цветных металлов.

В табл. 3 представлены результаты определения содержания примесей в образцах высокочистого мышьяка, полученного на базе люизита. Содержание примесей контролировали химико-спектральным методом с возбуждением спектра в дуге постоянного тока и с помощью атомно-эмиссионной спектроскопии с возбуждением спектра в индуктивно связанном плазменном разряде. Высокий предел обнаружения примесей (до 10–8 мас%) достигнут с применением экстракционного концентрирования примесей на стадии пробоподготовки.

Следует отметить, что чистота аморфной и кристаллической модификаций мышьяка практически однаакова. Тем не менее для удобства применения в технологии полупроводниковых материалов аморфный мышьяк далее подвергается сублимации, обеспечивающей его перевод в кристаллическую форму. Полученный мышьяк по качеству отвечает квалификации 99.9999 мас% (марка 6N) и не уступает продукту, выпускаемому ведущими зарубежными фирмами США (Johnson Mattey), Японии (Furukawa) на базе традиционного сырья – мышьяковистых руд.

Использование высокочистого мышьяка, полученного из нетрадиционного сырья, обеспечивает в промышленных условиях высокие и воспроизводимые параметры монокристаллов арсенида галлия и epitаксиальных структур на его основе.

### Выводы

1. Проведена оценка состава равновесной парогазовой смеси реакции восстановления  $\text{AsCl}_3$  водородом в интервале температур 700–1100 К. Установлено, что степень превращения  $\text{AsCl}_3$  изменяется от 97.3 до 97.9% при избытке водорода против стехиометрии  $\alpha=1$  и приближается к 100% при увеличении  $\alpha$  выше 1.5.
2. Определены порядок химической реакции ( $X=1.86$ ,  $Y=2.78$ ), константа скорости ( $\ln k=36.509-15287/T$ ), кажущаяся энергия активации ( $E=127 \text{ кДж}\cdot\text{моль}^{-1}$ ).
3. Экспериментально определены оптимальные условия процесса восстановления трихлорида мышьяка

дом: температура в зоне реакции 1050–1100 К, температура в зоне конденсации 670–705 К, время пребывания парогазовой смеси в зоне реакции 20–25 с, избыток водорода  $\alpha=1.5-2.0$ .

4. Показано, что степень превращения  $\text{AsCl}_3$  в мышьяк составляет не менее 99.99%, минимальное количество аморфной модификации 7.2%.

Работа выполнена в рамках Программы Президиума РАН «Поддержка инноваций» и при финансовой поддержке гранта Российского фонда фундаментальных исследований «Ведущие научные школы» НШ-4895.2006.3.

### Список литературы

- [1] Рыхладзе В.Г. Мышьяк. М.: Металлургия, 1969. 190 с.
- [2] Нисельсон Л.А., Ярошевский А.Г., Гасанов А.А. и др. // Высокочистые вещества. 1993. № 4. С. 62–64.
- [3] Федоров В.А., Пашикин А.С., Ефремов А.А., Гринберг Е.Е. // Высокочистые вещества. 1991. № 5. С. 7–30.
- [4] Федоров В.А. // Современные проблемы общей и неорганической химии. ИОН им. Н.С.Курнакова РАН: Сб. 70-летия ин-та. М.: Наука, 2004. С. 464–472.
- [5] Федоров В.А., Ефремов А.А., Гринберг Е.Е. и др. // Рос. хим. журнал (ЖРХО им. Д.И.Менделеева). 1994. Т. 38. № 2. С. 25–33.
- [6] Федоров В.А., Ефремов А.А., Жуков Э.Г. и др. // Рос. хим. журнал (ЖРХО им. Д.И.Менделеева). 1995. Т. 39. № 4. С. 46–57.
- [7] Fedorov V.A. // Russian J. Inorgan. Chem. 2001. V. 46. Suppl. 2. P. 87–112.
- [8] Крапухин В.В., Соколов И.А., Костюченко М.Н. // Изв. вузов. Цв. металлургия. 1967. № 4. С. 95–103.
- [9] Милованова М.В., Кренев В.А. // ЖНХ. 1997. Т. 32. № 6. С. 1699–1700.
- [10] Кренев В.А., Евдокимов В.И. О восстановлении трихлорида мышьяка водородом. 1972. 5 с. Деп. ВИНТИ. 1972. № 4049.
- [11] Потолоков В.Н., Ефремов В.А., Жуков Э.Г. и др. // Неорган. материалы. 2003. Т. 39. С. 20–26.
- [12] Русин А.Д., Агамирова Л.М., Жуков Э.Г. // Вестн. МГУ. Химия. 1982. Т. 23. № 2. С. 104–107.
- [13] Денисов Е.Т. Кинетика гомогенных химических реакций. М.: Высш. шк., 1978. 367 с.